



Optique Adaptative et Astronomie

G rard Rousset

► To cite this version:

| G rard Rousset. Optique Adaptative et Astronomie. Master. 2011. sfo-00658678

HAL Id: sfo-00658678

<https://hal-sfo.ccsd.cnrs.fr/sfo-00658678>

Submitted on 10 Jan 2012

HAL is a multi-disciplinary open access archive for the deposit and dissemination of scientific research documents, whether they are published or not. The documents may come from teaching and research institutions in France or abroad, or from public or private research centers.

L'archive ouverte pluridisciplinaire **HAL**, est destin e au d p t et   la diffusion de documents scientifiques de niveau recherche, publi s ou non,  manant des  tablissements d'enseignement et de recherche fran ais ou  trangers, des laboratoires publics ou priv s.



L'Optique à Paris
Ecole Normale Supérieure
le 17 novembre 2011

Optique Adaptative et Astronomie

Gérard Rousset
Université Paris Diderot - Paris 7
LESIA, Observatoire de Paris
gerard.rousset@obspm.fr

Plan de l'exposé

- Grands télescopes et turbulence atmosphérique
- L'optique adaptative
- Imagerie directe des exoplanètes
- Les solutions pour la limitation du champ et de la couverture du ciel
- Perspectives

Nécessité des très grands télescopes

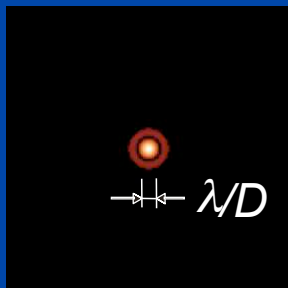
- Le pouvoir collecteur augmente avec le carré du diamètre
 - Donne accès à des objets célestes de luminosité très faible
- Le pouvoir de résolution théorique augmente avec le diamètre
 - Donne accès à des séparations très faibles :
~ 0,05 sec. d'arc (~ 0,25 μ rad) en proche infrarouge pour un télescope de 8m
⇒ correspond à une séparation de 1 UA à 65 années-lumière

Dégradation des images par la turbulence atmosphérique

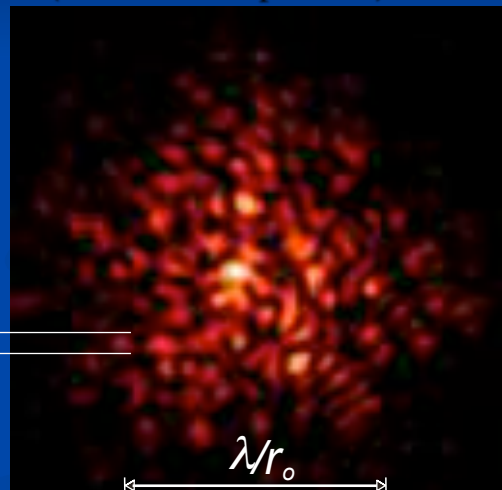
Image d'un point source (FEP) :

limitée par la diffraction
(tache Airy)

dégradée par la turbulence
(tavelures / speckles)



λ/D



Diffraction (10m) : 0,01" à 0,5 μ m

Turbulence : 1" avec $r_0(\lambda^{6/5}) = 10$ cm à 0,5 μ m

Origine de la dégradation

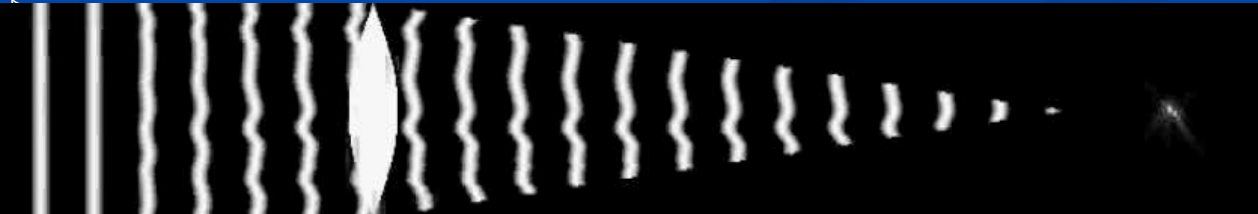
Ondes planes

Airy



Ondes perturbées

image dégradée



Fluctuations turbulentes de température dans l'atmosphère =
avances ou retards de phase sur les surfaces d'onde

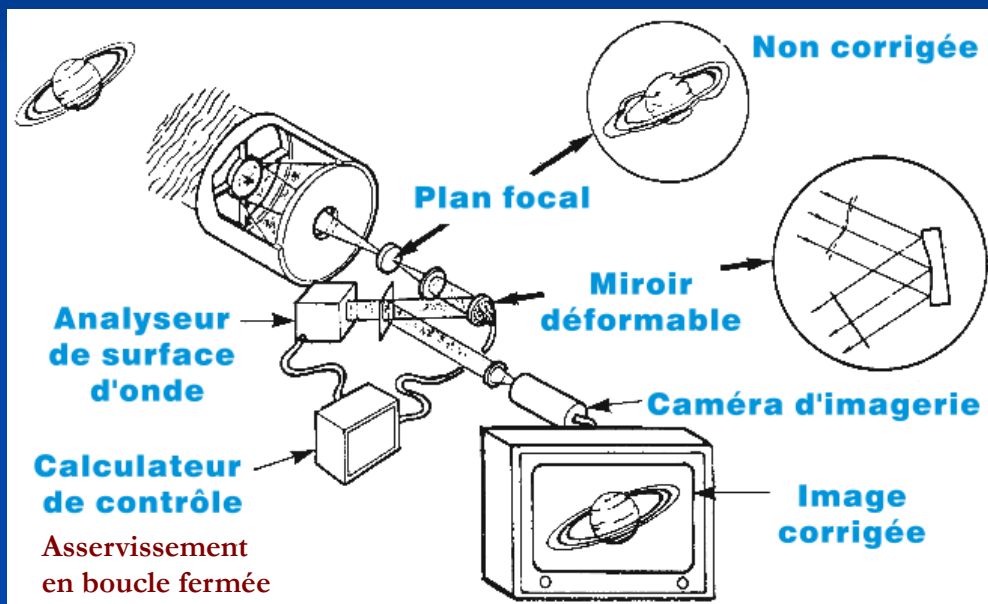
5

7/11/2011

G. Rousset, Optique /

Principe de l'optique adaptative (OA)

- Corriger avec un miroir déformable les avances et retards des surfaces d'onde (achromatiques)



6

G. Rousset, Optique Adaptative et astronomie, 17/11/2011

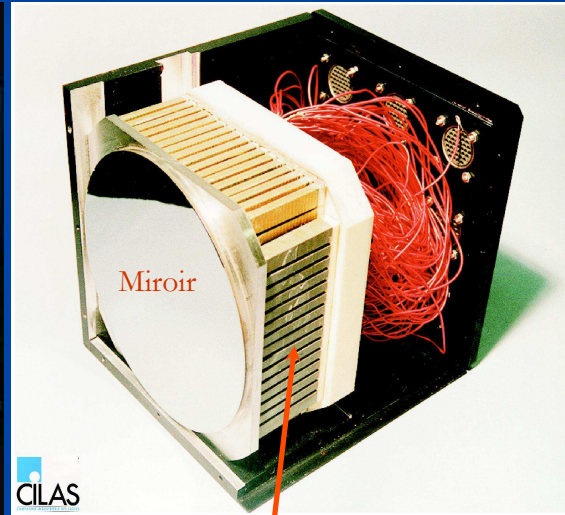
Un élément clé d'un système d'OA

Le miroir déformable

- Miroir conjugué de la pupille d'entrée du télescope
- Déformations ~ 1 à $5 \mu\text{m}$
- De ~ 50 à 700 actionneurs
- Fréquence de commande $> 100 \text{ Hz}$



G. Roux



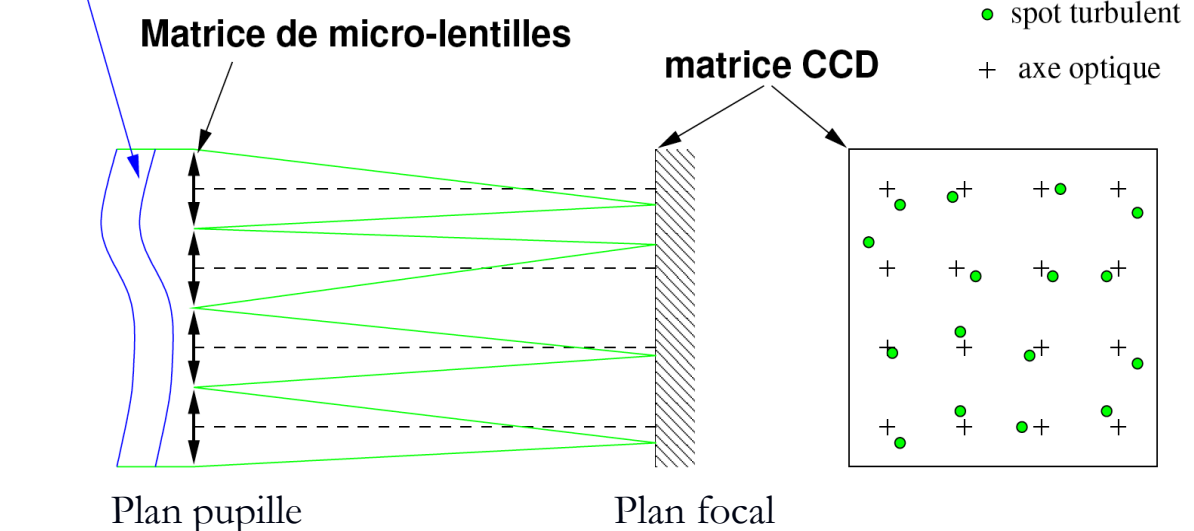
Actionneurs piézoélectriques 7

Principe de l'analyseur de surface d'onde

(Shack-Hartmann)

Rayons lumineux perpendiculaires à la surface d'onde

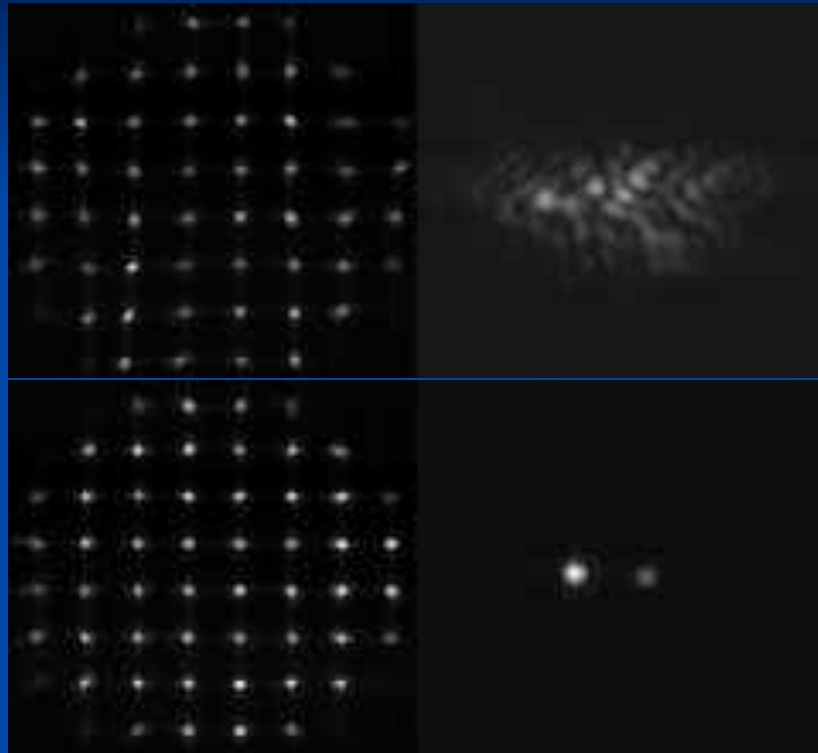
Front d'onde turbulent



Turbulence et correction par OA

Analyseur de surface d'onde

Image



Turbulence

Optique adaptative

9

G. Rousset, Optique Adaptative et astronomie, 17/11/2011

FEP longue pose (proche IR) en OA

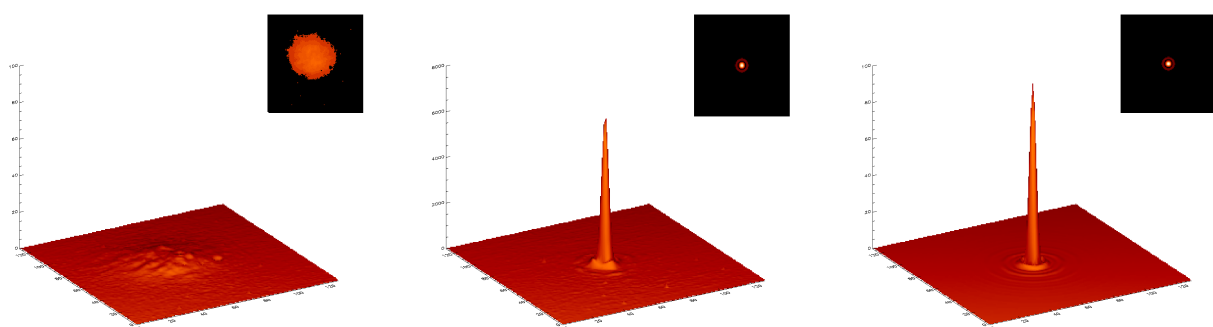


image turbulente

image corrigée ($SR = 64\%$)

diffraction

Longueur d'onde d'imagerie : $2.2\mu m$

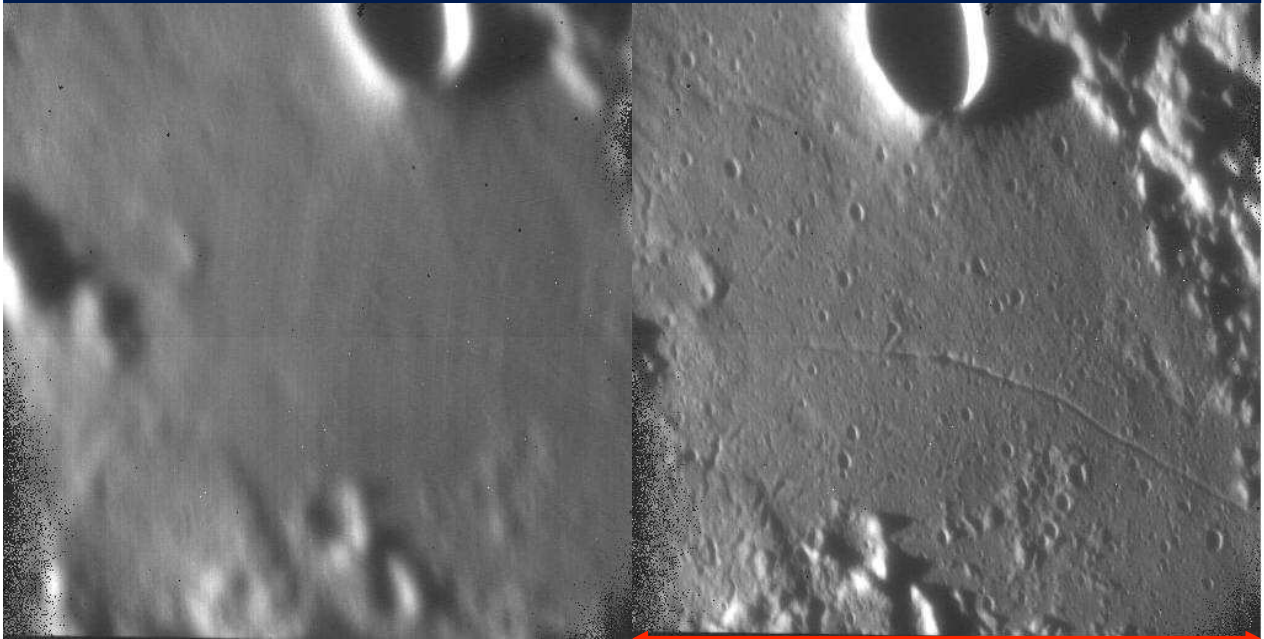
Télescope 8m (VLT), $r_o = 1m$, $v = 10m/s$
Système d'OA: 185 actionneurs, fréquence 440 Hz

Surface d'onde corrigée à mieux que 250 nm

G. Rousset

10

Impact de la résolution sur un objet étendu



G. Rousset, Optique

Image brouillée par la turbulence

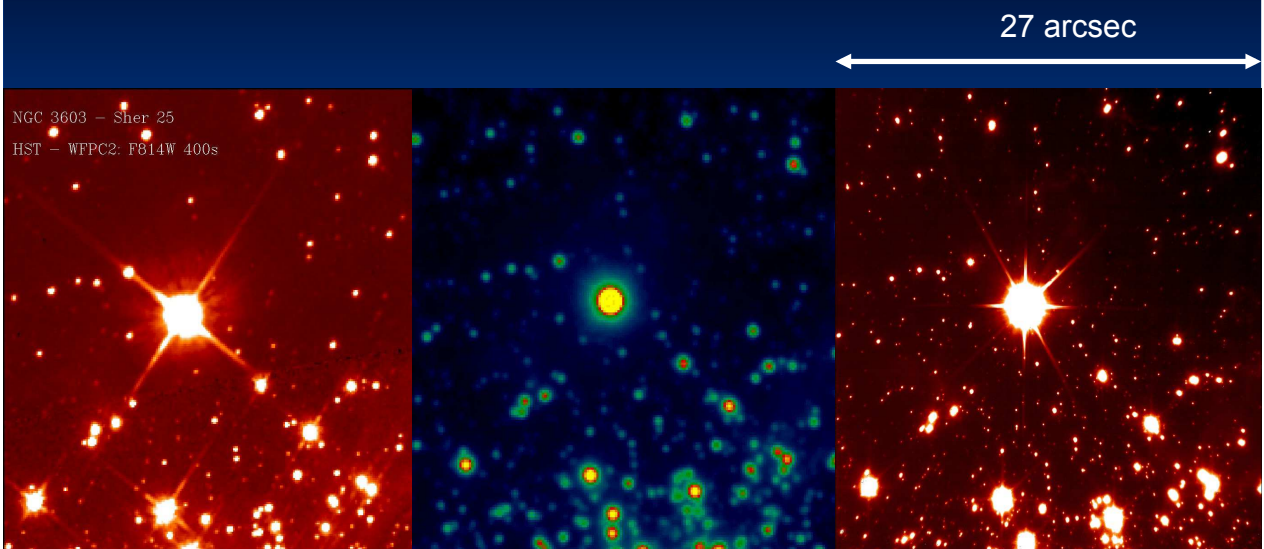
26'' = 45 km

Image corrigée par OA

Surface de la Lune à $\lambda = 2,2 \mu\text{m}$ au VLT

11

Apport de l'OA : résolution et détectivité



NGC 3603 – Spine 25
HST – WFPC2: F814W 400s

27 arcsec

G. Rousset, Optique Adaptative et

HST
(I, 400s)

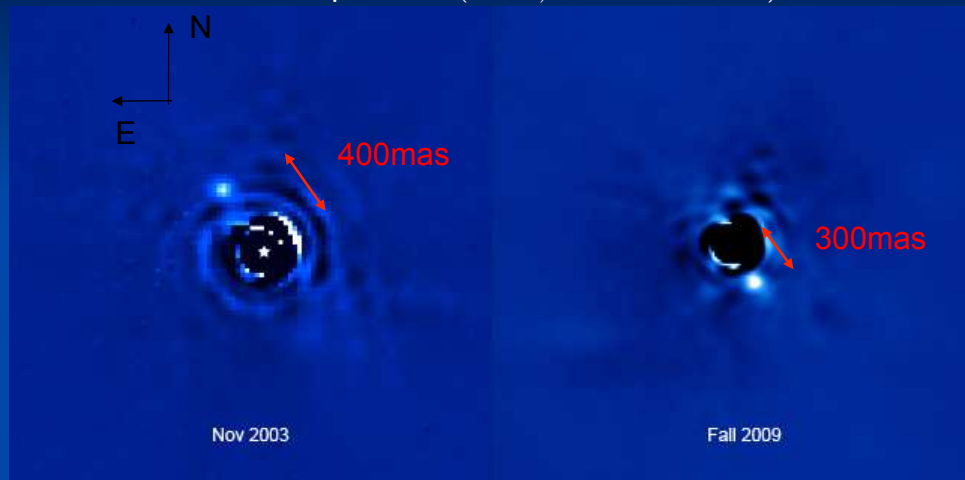
VLT sans OA
(2,2 μm , 30mn)

VLT avec OA
(2,2 μm , 300s, SR 56%)

12

Détection et image d'une exoplanète

Autour de β Pictoris (étoile jeune à 70 an.-lum.)



β Pictoris-b de période ~ 12 ans
 $T \sim 1500\text{K}$, $7-11 M_{\text{jup}}$ à $8-14$ UA
Lagrange et al (2009, 2010)

La coronagraphie pour l'imagerie des exoplanètes : haut contraste

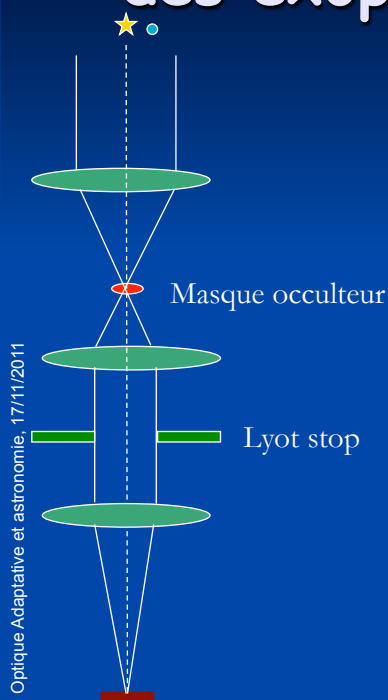


Image classique

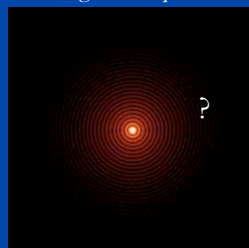
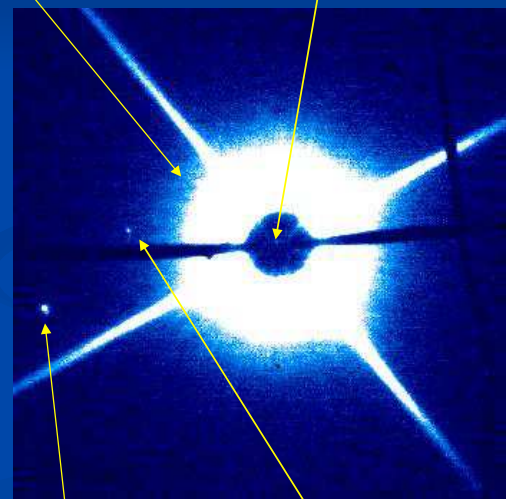


Image coronagraphique



Halo résiduel

Masque occulteur



Luminosité à 10^{-4}
 Sép. $4,8''$

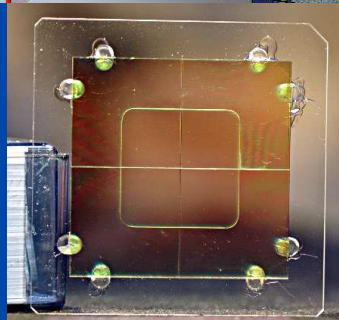
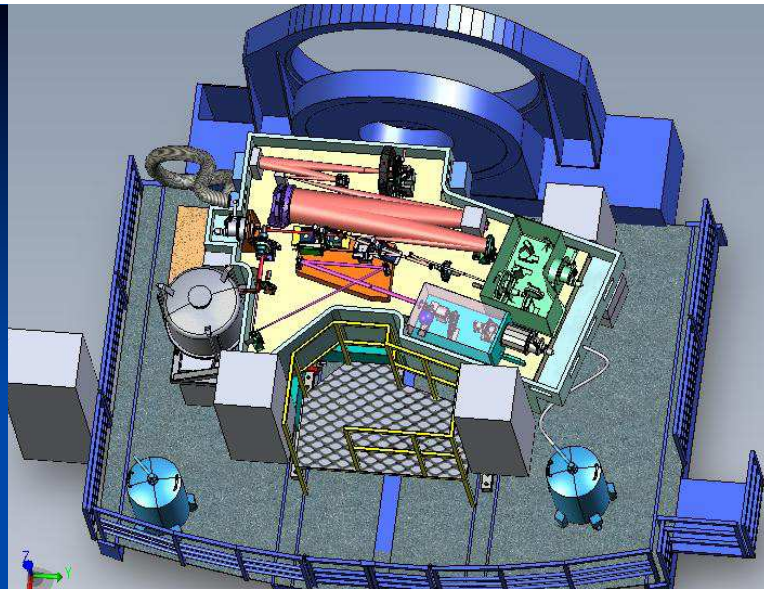
Luminosité à 10^{-5}
 Sép. $2,8''$

Projet SPHERE : imagerie des exoplanètes au VLT

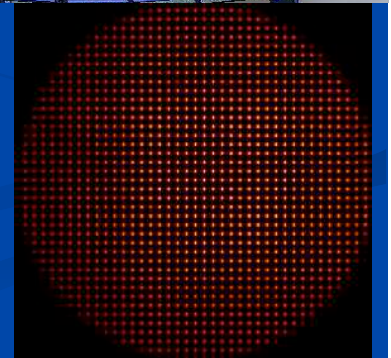
G. Rousset, Optique Adaptative et astronomie, 17/11/2011

Haut contraste 10^6 à $10 \lambda/D$

- Mir. Déf. à 1370 actionneurs
- Analyse de surface d'onde dans le visible à la fréquence 1200 Hz
- SR attendu de 90% à $1,6 \mu\text{m}$
=> Surf. Onde < 100nm
- Imagerie différentielle, spectroscopie, polarimétrie et coronagraphie de $0,9$ à $2,3 \mu\text{m}$
- Nombreux laboratoires européens impliqués



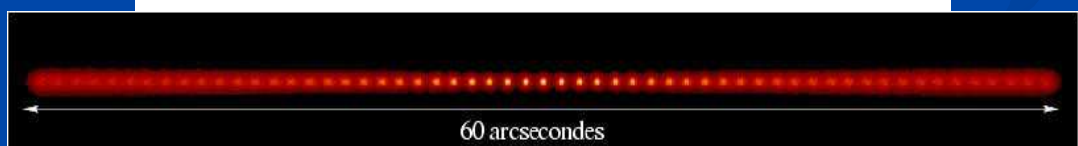
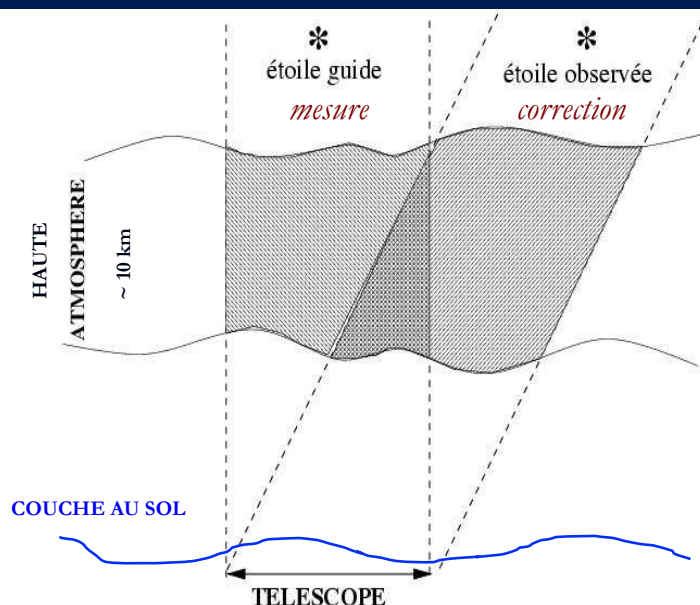
Coronographe de phase 4 quadrants



Limitation du champ (anisoplanétisme)

Faible corrélation des surfaces d'onde en altitude entre les différentes directions d'observation

Forte corrélation au sol



Variation de la FEP dans le champ

G. Rousset, Optique Adaptative et astronomie, 17/11/2011

Impact de l'altitude de la turbulence

Fortes couches turbulentes à haute altitude

Couches turbulentes à basse altitude

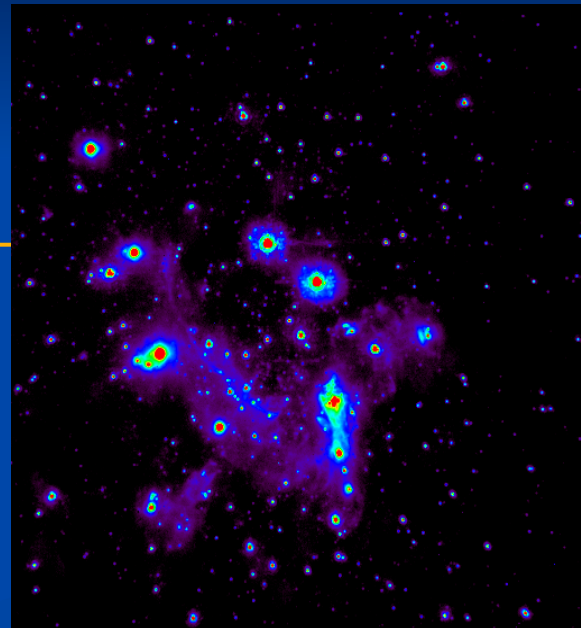
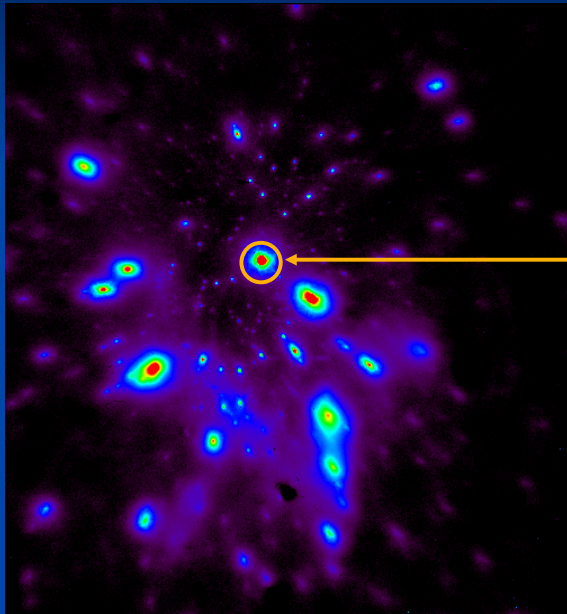
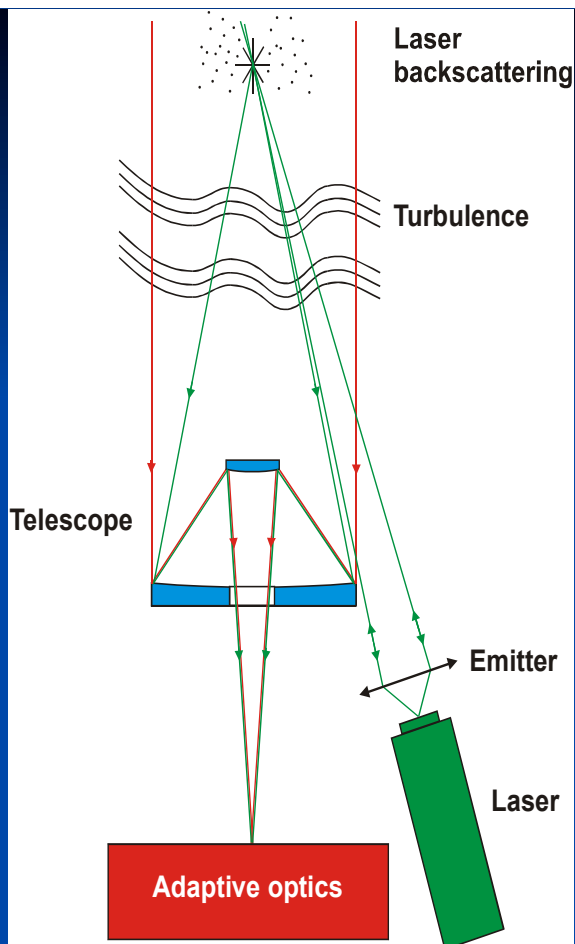


Image du Centre Galactique (30 arcsec)

Luminosité des étoiles guides

- Une mesure suffisamment précise requiert de l'ordre de 200 photons détectés par sous pupille
- C'est à dire une étoile guide de magnitude ~ 10 dans le visible (détecteur CCD très sensible)
- Les objets souvent beaucoup plus faibles !!!
- Etoiles guides proches de séparation inférieure à quelques dizaines de sec. d'arc (anisoplanétisme) très difficiles à trouver en général...
- Ainsi **couverture du ciel très faible !**



Etoile artificielle créée par laser

Rétrodiffusion sur la couche mésosphérique de Sodium entre 80 et 100 km d'altitude

Quelques problèmes :

- angle d'arrivée non mesurable
- effet de cône
- source 3D fluctuante...

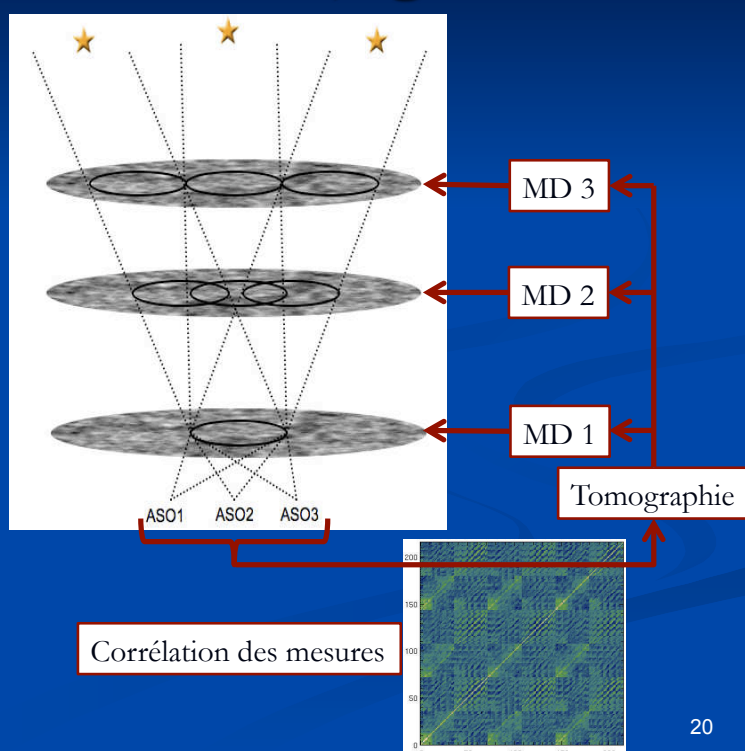


19

OA pour le grand champ ! OA dite multi-conjuguée

Synthèse du volume turbulent :

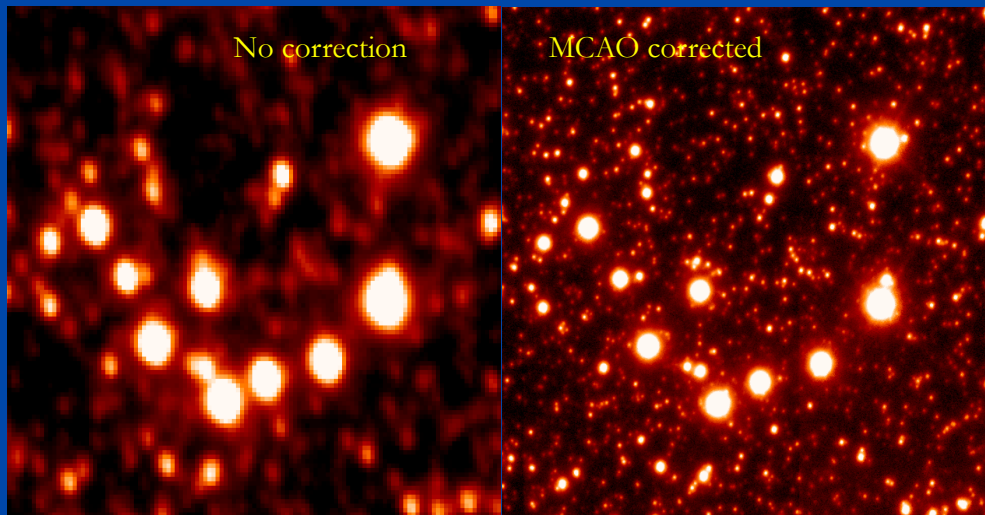
- Mesurer les surfaces d'onde dans plusieurs directions (étoiles lasers)
- Reconstruire le volume turbulent par tomographie
- Corriger par plusieurs miroirs déformables conjugués aux altitudes prépondérantes



20

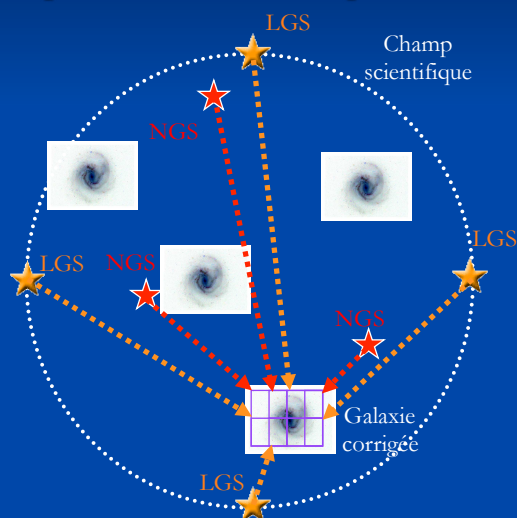
OA multi-conjuguée : démonstration au VLT (ESO)

- Tél. 8m, 2 MDs à 60 actionneurs, 3 analyseurs, étoiles naturelles guides à 2 arcmin, seeing 0,7 arcsec
- Omega Centauri (15^2 arcsec^2) : $2,2 \mu\text{m}$, $\text{SR} \sim 20\%$
- Marchetti et al. 2007

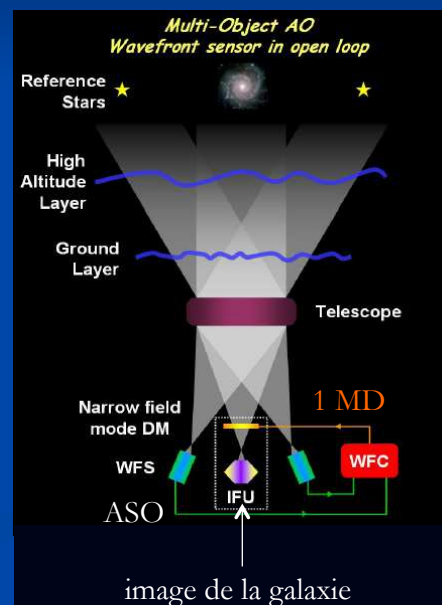


OA très grand champ ! OA dite multi-objet

Observer plusieurs dizaines de galaxies à grand redshift dans un champ de 10 min. d'arc pour accéder à une statistique suffisante



Multi étoiles lasers et naturelles
Tomographie
1 MD par objet en boucle ouverte

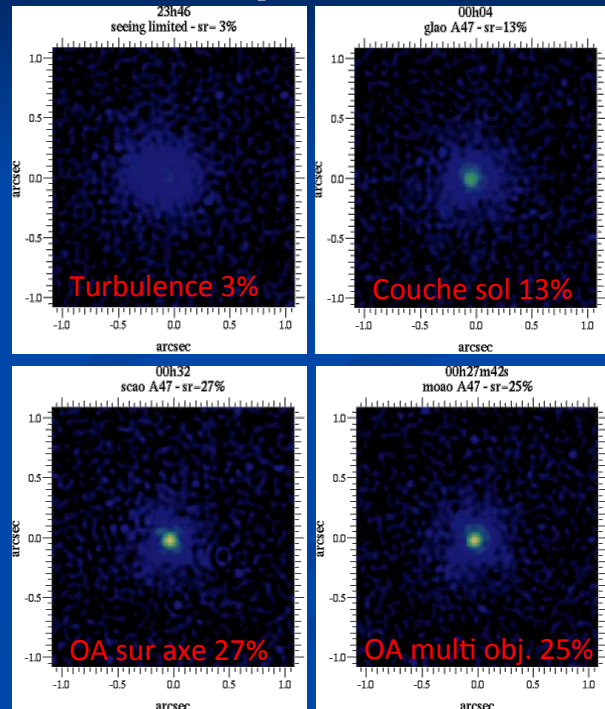
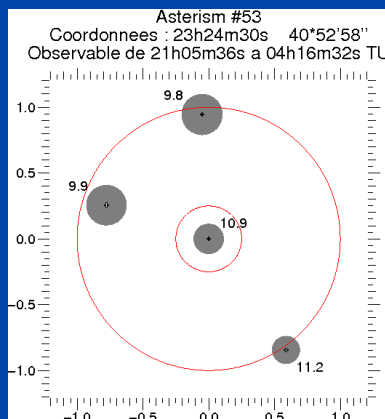


Démonstration de l'OA multi-objet

WHT (4,2m) aux Iles Canaries

- 3 ASO sur étoiles naturelles
- Tomographie
- 1 miroir déf. (52 action.) sur l'étoile sur axe en boucle ouverte
- Gendron et al., 2011

Images à 1,5 μm



G. Rousset, Optique Adaptative et astronomie, 17/11/2011

Les très grands télescopes au sol équipés d'OA de première génération



G. Rousset, Optique Adaptative et astronomie, 17/11/2011

Les extrêmement grands télescopes

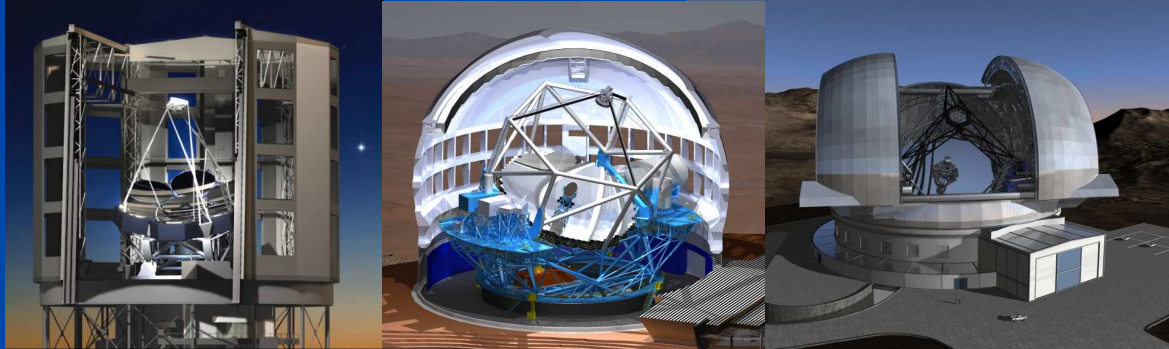
Horizon 2020-2025

Deux projets aux USA et un en Europe :

Giant Magellan Tel.
GMT, 25m, Chili

Thirty Meter Tel.
TMT, 30m, Hawaïi

European Extremely
Large Telescope
E-ELT, 40m, Chili



Conçus dès maintenant avec OA intégrée !

25

Conclusion

- L'optique adaptative technologie clef en astronomie
- Relever le défi des OA des extrêmement grands télescopes
- Le très grand nombre d'actionneurs
- Les problématiques de l'étoile laser
- Le grand champ
- Le haut contraste

26

Merci pour votre attention !

